

# 高效液相色谱法测定黄瓜和番茄中苯丁锡残留量

李雯婷, 苗水, 陆继伟, 陈铭, 周恒, 兰岚, 毛秀红, 季申<sup>\*</sup>  
(上海市食品药品检验所, 上海 201203)

**摘要:** 目的 建立黄瓜、西红柿中苯丁锡残留量的检测方法。方法 样品采用二氯甲烷:乙腈( $V:V=1:2$ )溶液振摇提取, 用N-丙基乙二胺(PSA)作为净化剂净化, 采用Phenomenex Kinetex EVO C<sub>18</sub>柱(4.6 mm×150 mm, 5 μm), 以乙腈:0.01 mol/L盐酸(含0.6%氯化钠)( $V:V=85:15$ )为流动相等度洗脱分离, 流速1.0 mL/min, 在220 nm波长处用高效液相色谱法检测。**结果** 苯丁锡在0.5~50 mg/L范围内线性关系良好。平均回收率为92.9%~98.6%, 相对标准偏差(RSD)在0.7%~5.0%之间( $n=6$ )。检出限为0.05 mg/kg。**结论** 该方法操作简便、准确、可靠, 可用于黄瓜、西红柿等蔬菜中苯丁锡残留量的测定。

**关键词:** 分散固相萃取; 高效液相色谱法; 苯丁锡残留

## Determination of fenbutatin oxide residues in cucumbers and tomatoes by high performance liquid chromatography

LI Wen-Ting, MIAO Shui, LU Ji-Wei, CHEN Ming, ZHOU Heng, LAN Lan, MAO Xiu-Hong, JI Shen<sup>\*</sup>  
(Shanghai Institute for Food and Drug Control, Shanghai 201203, China)

**ABSTRACT: Objective** To develop a method for determination of fenbutatin oxide in cucumbers and tomatoes.

**Methods** The vegetable samples were extracted with dispersive solid-phase extraction (d-SPE) of dichloromethane/acetonitrile ( $V:V=1:2$ ), and cleaned up using PSA, the extracts were separated with Phenomenex Kinetex EVO C<sub>18</sub> column (4.6 mm×150 mm, 5 μm), using acetonitrile and 0.01 mol/L hydrochloric acid solution (0.6% sodium chloride) ( $V:V=85:15$ ) as mobile phase under 1.0 mL/min flow rate. Finally, the extracts were analyzed by high performance liquid chromatography (HPLC) with 220 nm. **Results** It had a good linearity of fenbutatin oxide in 0.5~50 mg/L. The average recoveries were in range of 92.9%~98.6%, the relative standard deviations (RSD) were 0.7%~5.0%( $n=6$ ) and the limits of detection were 0.05 mg/kg, respectively. **Conclusion** This method is simple, accurate and reliable, which is suitable for the determination of fenbutatin oxide in cucumbers and tomatoes.

**KEY WORDS:** dispersive solid-phase extraction; high performance liquid chromatography; fenbutatin oxide

## 1 引言

苯丁锡为感温型抑制神经组织的有机锡杀螨剂, 能有效防治对有机氯和有机磷产生抗性螨类害虫, 可用于防

治蔬菜、果树、茶树、花卉等作物螨害<sup>[1]</sup>。《食品中农药最大残留限量》(GB2763-2014)<sup>[2]</sup>仅对蔬菜中的黄瓜及番茄中苯丁锡的最大残留限量作出规定, 分别为1 mg/kg和0.5 mg/kg, 推荐的检测标准为《出口粮谷及油籽中苯丁锡残留

基金项目: 国家科技重大专项(2014ZX09304307-002)、上海市科学技术委员会项目(14DZ2294000)

**Fund:** Supported by National Science and Technology Major Project (2014ZX09304307-002) and Science and Technology Commission of Shanghai Municipality (14DZ2294000)

\*通讯作者: 季申, 主任药师, 主要研究方向为中药、天然药物及保健食品和有害残留物的质量标准研究。E-mail: jishen2013@163.com

\*Corresponding author: JI Shen, Chief Pharmacist. Shanghai Institute for Food and Drug Control, No. 1500 Zhangheng Road, Pudong New District, Shanghai 201203, China. E-mail: jishen2013@163.com

量》(SN 0592-1996)<sup>[3]</sup>。苯丁锡常见的检测方法有气相色谱法-电子捕获检测器(gas chromatography-electron capture detector, GC-ECD)<sup>[4,5]</sup>、气相色谱法-火焰光度检测器(gas chromatography-flame photometric detector, GC-FPD)<sup>[6-9]</sup>、气相色谱法-原子发射检测器(gas chromatography-atomic emission detector, GC-AED)<sup>[10,11]</sup>、气相色谱-质谱法(gas chromatography-mass spectrometry, GC-MS)<sup>[12-16]</sup>及气相色谱-串联质谱法(gas chromatography-tandem mass spectrometry, GC-MS/MS)<sup>[17,18]</sup>等分析方法。上述分析方法均需要将苯丁锡衍生化为氯化衍生物,再经氧化铝柱净化后检测,操作较为繁琐,重现性欠佳。本研究采用高效液相色谱法测定蔬菜中苯丁锡残留量的方法,前处理净化采用分散固相萃取法(disperse-solid phase extraction, d-SPE)。实验结果表明,该方法具有操作简便、无需衍生化、准确度和精密度高等特点,可较好应用于黄瓜与番茄中苯丁锡残留量检测。

## 2 材料与方法

### 2.1 实验材料

黄瓜、番茄(购于上海欧尚超市有限公司)。

### 2.2 仪器与试剂

高效液相色谱仪配有二级阵列管检测器(Agilent 1260,美国 Agilent 公司);振荡器(IKA KS260C,德国 IKA 公司);氮吹仪(N-EVAPTM 112,美国 Organomation 公司);涡旋混合器(IKA MS 2,德国 IKA 公司)。

苯丁锡(98.5%, Dr.Ehrensterfer 公司);乙腈、二氯甲烷(色谱纯,美国 Merk 公司);盐酸(分析纯,国药集团化学试剂有限公司);氯化钠、无水硫酸镁(分析纯,上海凌峰化学试剂有限公司);N-丙基乙二胺吸附剂(PSA)(北京艾杰尔科技有限公司)。

### 2.3 试验方法

#### 2.3.1 标准溶液配制

准确称取 10 mg 苯丁锡标准品,用二氯甲烷溶解并定容至 10 mL,配制成 1000 mg/L 的标准储备溶液。准确移取一定体积的标准储备溶液并用二氯甲烷:乙腈(V:V=1:2)逐级稀释,配置成浓度分别为 0.5、2.5、5、10、20 和 50 mg/L 的苯丁锡系列标准工作溶液。

#### 2.3.2 液相色谱条件

色谱柱: Phenomenex Kinetex EVO C<sub>18</sub> 柱(4.6 mm×150 mm, 5 μm);柱温: 30.0 °C;进样体积: 10.0 μL;流速: 1.0 mL/min;流动相: 乙腈:0.01 mol/L 盐酸(含 0.6% 氯化钠)(V:V=85:15)等度洗脱,检测波长: 220 nm。

#### 2.3.3 样品处理

称取 15 g 匀浆试样(准确至 0.01 g),放至于 50 mL 聚苯乙烯具塞离心管中,精密加入二氯甲烷:乙腈(V:V=1:2)

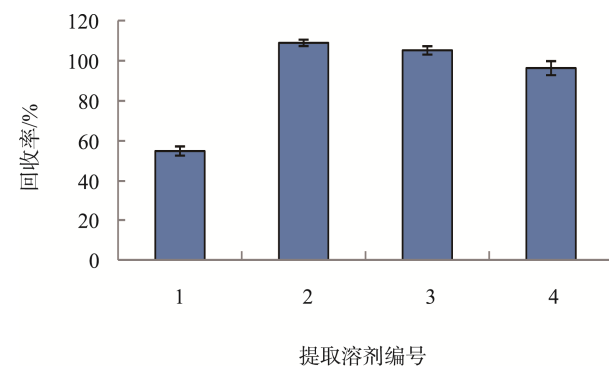
溶液 15 mL,剧烈振摇提取 30 min,再加入 6 g 氯化钠,再次剧烈振摇 1 min 后,以 4000 r/min 离心 5 min。精密移取上清液 9 mL,置于已预先装有净化材料的分散固相萃取净化管(无水硫酸镁 900 mg, N-丙基乙二胺(PSA)600 mg)中,涡旋使其充分混匀,再置振荡器上以 500 次/min 剧烈震荡 5 min 使其净化完全,以 4000 r/min 离心 5 min;精密吸取上清液 5 mL,置氮吹仪上吹至约 0.4 mL,加二氯甲烷:乙腈(V:V=1:2)溶液定容至 1 mL,涡旋混匀,用微孔滤膜(孔径 0.22 μm)滤过,取续滤液,即得。

## 3 结果与分析

### 3.1 提取和净化条件优化

#### 3.1.1 提取溶剂的选择

苯丁锡难溶于大多数的有机溶剂和水,易溶于氯代烷烃、苯和丙酮,本研究选取乙腈、二氯甲烷:乙腈(V:V=1:2)、二氯甲烷:乙腈 V:V=1:4)、二氯甲烷:正己烷(V:V=1:1)及二氯甲烷为提取溶剂,比较 5 种提取溶剂对目标化合物的提取效果与加样回收率结果。具体见图 1,结果发现,采用乙腈作为提取溶剂目标化合物的加样回收率仅为 50%,其余提取溶剂的加样回收率均能达到 95%~100%;二氯甲烷作为提取溶剂后提取液位于下层不利于后续的前处理操作;二氯甲烷:正己烷(V:V=1:1)作为提取溶剂时,振摇提取后易产生严重乳化现象,综合考虑,本实验选择二氯甲烷:乙腈(V:V=1:2)为提取溶剂,既可有效保证目标分析物的提取效率又可使提取溶剂保留在上层,使本方法简便,重现性好。



1: 乙腈; 2: 二氯甲烷:乙腈(V:V=1:2); 3: 二氯甲烷:乙腈(V:V=1:4);  
4: 二氯甲烷:正己烷(V:V=1:1)

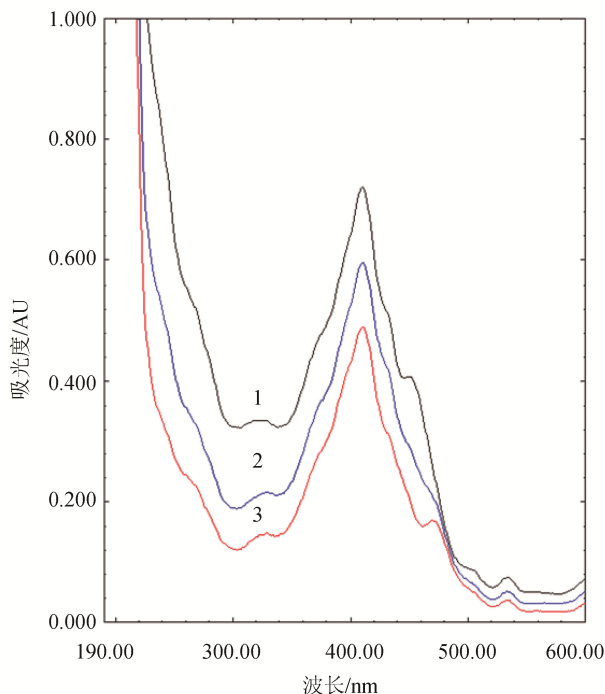
图 1 不同提取溶剂对苯丁锡回收率的影响

Fig. 1 Effect of different extraction solvents on the recoveries of fenbutatin oxide

#### 3.1.2 净化材料的选择

分散固相萃取为 QuEChERS 法的主要净化方法,常

用的分散固相萃取的净化材料主要有 N-丙基乙二胺吸附剂(PSA)、十八烷基键合硅胶(C<sub>18</sub>)和石墨化碳(GCB), 其中 C<sub>18</sub> 可去除脂肪和脂类杂质, 黄瓜、番茄等蔬菜类样品中含有有机酸及色素类杂质。由于苯丁锡含苯环结构, 虽然 GCB 可有效去除色素和甾醇类等杂质, 但 GCB 会对苯丁锡有吸附作用, 导致回收率降低; PSA 可去除脂肪酸、有机酸、糖及色素等杂质, 故最终选择 PSA 作为本方法分散固相萃取的净化材料。本文对 PSA 用量进行优化, 将 2.3.3 中所得提取液分别用 50、100、200、400、600、900 和 1500 mg PSA 进行净化, 将净化液采用紫外光谱法在 190~600 nm 波长处进行光谱扫描, 比较净化效果。由图 2 可见, 净化液的紫外吸收明显低于提取液, 表明采用 PSA 净化有较好的净化作用; 随着 PSA 净化材料用量的增加, 净化液的紫外吸收逐渐减小, 表明其净化效果也逐渐增加。对上述 6 种不同用量的 PSA 进行加样回收率试验, 比较不同用量的 PSA 对目标分析物的提取效率的影响。由图 3 可见, 随着 PSA 用量的增加, 回收率逐渐降低; 当 PSA 用量为 600 mg, 回收率为 95.5%, 符合检测要求, 故最终确定 PSA 的用量为 600 mg。



1: 提取液(未净化); 2: 净化液(PSA: 50 mg); 3: 净化液(PSA: 600 mg)

图 2 黄瓜提取液经不同用量 PSA 净化后的紫外光谱图  
Fig. 2 UV spectrum of extract of cucumber cleaned by different amounts of PSA

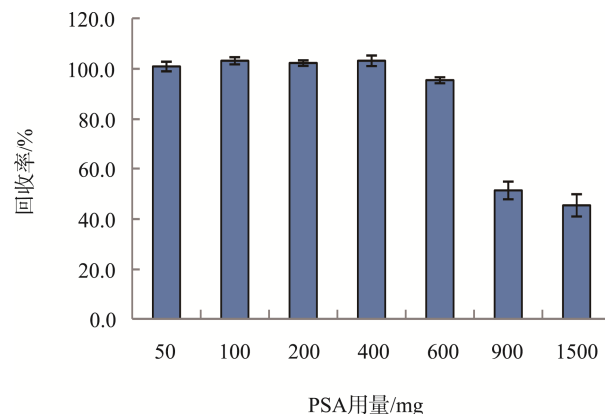


图 3 不同用量 PSA 对苯丁锡回收率的影响

Fig. 3 Effect of different amounts of PSA on recoveries of fenbutatin oxide

### 3.2 色谱条件优化

#### 3.2.1 流动相的优化

分别考察乙腈-水、乙腈-乙酸、乙腈-磷酸、乙腈-盐酸-氯化钠多组不同的流动相, 结果表明, 除乙腈-0.01 mol/L 盐酸(含 0.6%氯化钠)外, 其余流动相均有不同程度的峰拖尾现象, 具体见图 4; 同时考察不同体积配比的乙腈-0.01 mol/L 盐酸(含 0.6%氯化钠)。结果表明, 流动相为乙腈-0.01 mol/L 盐酸(含 0.6%氯化钠)为 85:15(V:V)时, 目标化合物与杂质峰有较好的分离度。

#### 3.2.2 检测波长的优化

通过对苯丁锡进行紫外扫描, 紫外光谱图如图 5 所示。苯丁锡在 200~220 nm 波长下有较好吸收, 分别试验 200、205、210、215、220 nm 时的目标物的响应和基线噪音, 具体见表 1, 结果表明, 220 nm 时信噪比最高。因此, 采用 220 nm 作为检测波长。

表 1 波长与信噪比  
Table 1 Wavelength and signal-noise ratio

波长/nm	200	205	210	215	220
信噪比(S/N)	2.2	4.2	15.7	115.3	196.2

### 3.3 方法的线性范围

取系列标准工作溶液, 各进样 10 μL, 以目标化合物的峰面积对质量浓度(mg/L)进行回归分析计算。结果表明, 苯丁锡在 0.5~50 mg/L 浓度范围内线性关系良好, 回归方程为  $Y=16.76089X+0.955389$ ,  $r=0.9999$ 。

### 3.4 方法的回收率与精密度

以黄瓜和番茄样品为试验对象, 在低、中、高 3 个添加浓度水平下考察本方法的回收率和精密度, 按照本方法优化好的条件进行提取和测定, 对照品溶液、加标样品及空白样品色谱图见图 6~10, 图谱可见空白样品对苯丁锡的测定无干扰。

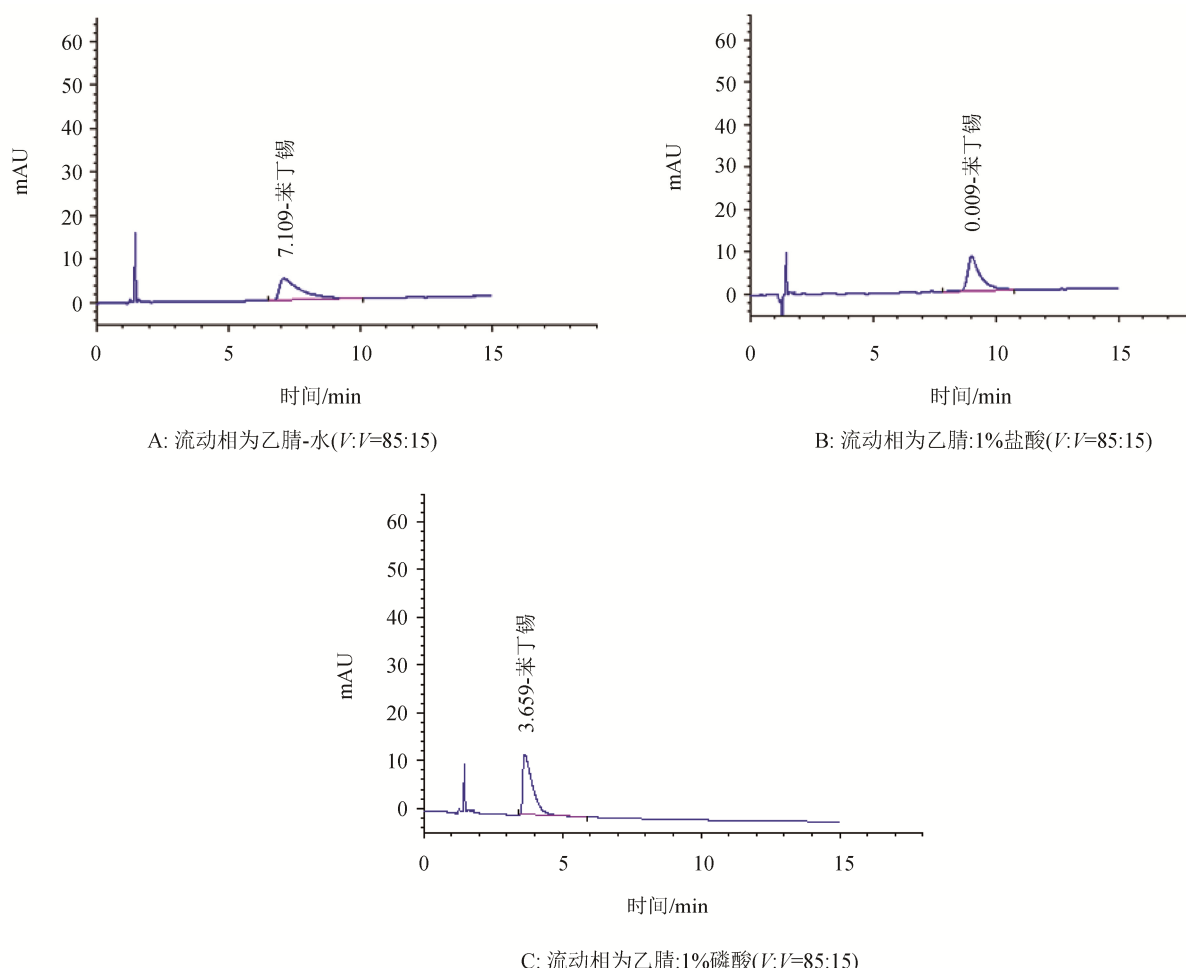


图 4 不同流动相对苯丁锡峰型的影响  
Fig. 4 Effect of different mobile phases on peak-shape of fenbutatin oxide

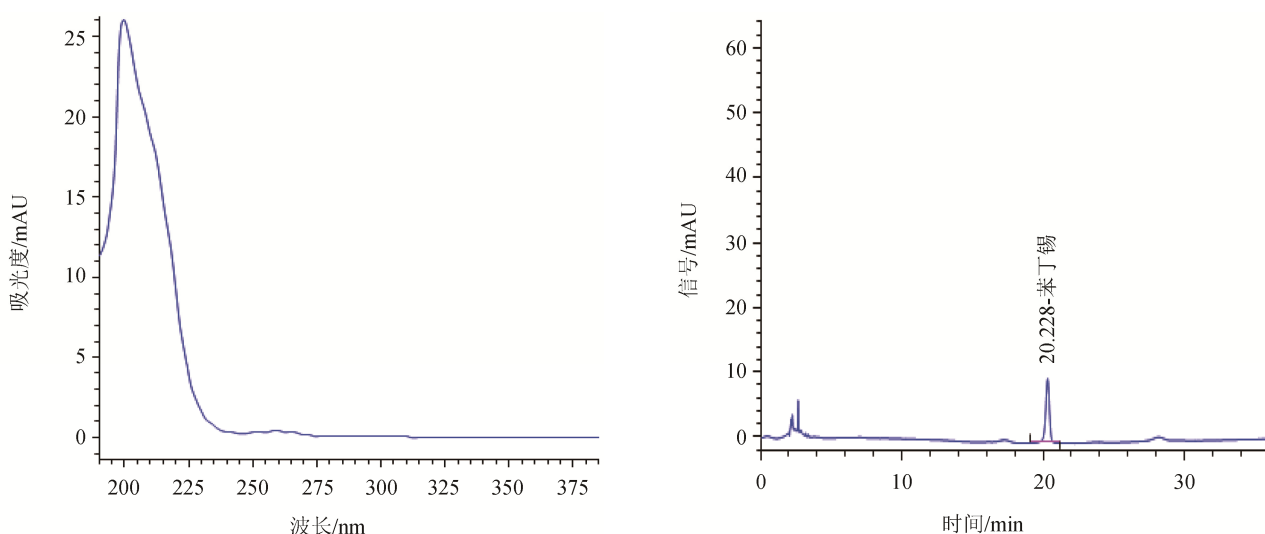


图 6 苯丁锡对照品溶液色谱图(10.0 mg/L)  
Fig. 6 Chromatogram of fenbutatin oxide (10.0 mg/L)

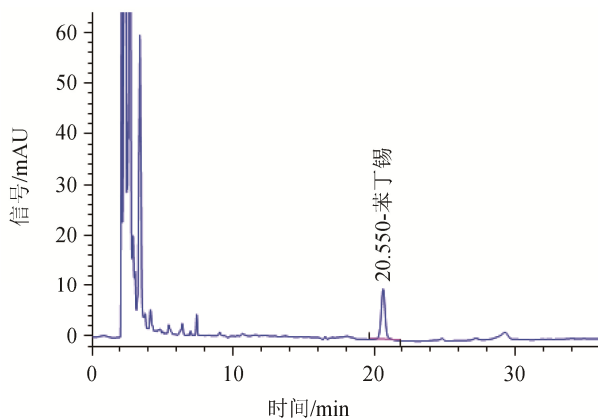


图 7 番茄加标样品溶液色谱图(2.0 mg/kg)

Fig. 7 Chromatogram of potato sample spiked at 2.0 mg/kg

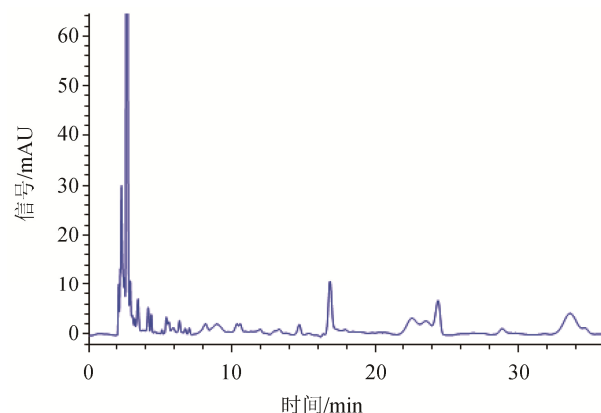


图 10 黄瓜空白样品溶液色谱图

Fig. 10 Chromatogram of cucumber sample

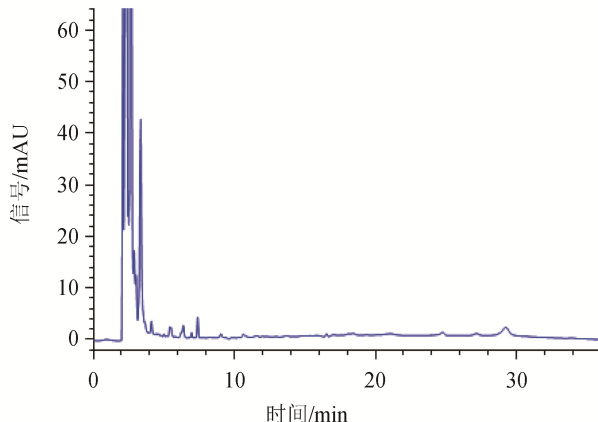


图 8 番茄空白样品溶液色谱图

Fig. 8 Chromatogram of potato sample

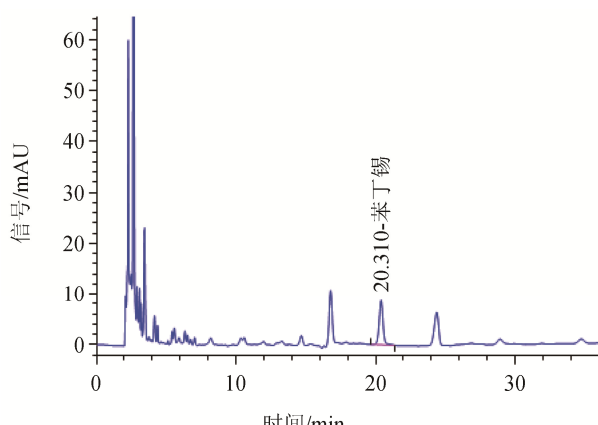


图 9 黄瓜加标样品溶液色谱图(2.0 mg/kg)

Fig. 9 Chromatogram of cucumber sample spiked at 2.0 mg/kg

表 2 黄瓜和番茄中苯丁锡的平均回收率和相对标准偏差( $n=6$ )  
Table 2 Average recoveries and relative standard deviations of fenbutatin oxide in cucumbers and tomatoes

样品	添加量(mg/kg)	平均回收率(%)	RSD(%) ( $n=6$ )
	0.5	97.5	4.7
黄瓜	2.0	96.0	5.0
	4.0	92.9	0.7
	0.5	98.6	1.4
	2.0	95.0	4.2
番茄	4.0	98.2	1.2

在 0.5、2.0 和 4.0 mg/kg 3 个添加水平下进行加样回收率实验, 每个水平 6 个重复, 目标化合物的平均回收率为 92.9%~98.6%, 相对标准偏差在 0.7%~5.0% 之间( $n=6$ ), 结果见表 2。该方法有较好的准确度与精密度。

### 3.5 检出限

以黄瓜和番茄样品为试验对象, 在 0.1 mg/kg 添加浓度水平下考察本方法的检出限, 以目标化合物色谱峰 3 倍信噪比(S/N)确定方法检出限(LOQ), 得黄瓜和番茄的检出限均为 0.05 mg/kg, 满足 GB 2763-2014 对黄瓜及番茄中苯丁锡最大残留限量的规定。

## 4 结 论

本文建立了分散固相萃取-高效液相色谱法测定蔬菜中苯丁锡残留量的新方法。实验表明, 该方法采用分散固相萃取为前处理方法, 相较于其他需衍生后再进行固相萃取净化的前处理方法更为快速、简便、可操作性强。同时本方法的准确度和精密度较高, 线性关系良好, 可用于蔬菜样品中苯丁锡的快速检测。

## 参考文献

- [1] 刘乾开, 朱国念. 新编农药使用手册[M]. 上海: 上海科学技术出版社, 2000.
- Liu QK, Zhu NG. A new pesticide manual [M]. Shanghai: Shanghai Scientific & Technical Publishers, 2000.
- [2] GB2763-2014 食品安全国家标准食品中农药最大残留限量[S]. GB2763-2014 National food safety standard—maximum residue limits for pesticides in food [S].
- [3] SN 0592-1996 出口粮谷及油籽中苯丁锡残留量检验方法[S]. SN 0592-1996 Method for the determination of fenbutatin oxide residues in cereals and oil seeds for export [S].
- [4] 吴珉, 卢军, 朱亚红, 等. 气相色谱-电子捕获检测器法测定柑桔和土壤中苯丁锡的残留[J]. 农药学学报, 2011, 13(5): 503-508.
- Wu M, Lu J, Zhu YH, et al. Determination of fenbutatin oxide residue in citrus fruit and soil by gas chromatography with electron capture detector [J]. Chin J Pest Sci, 2011, 13(5): 503-508.
- [5] Forsyth DS, Taylor J. Detection of organotin, organomercury, and organolead compounds with a pulsed discharge detector (PDD) [J]. Anal Bioanal Chem, 2002, 374(2): 344-347.
- [6] 刘志杏, 郭平, 王远兴, 等. 气相色谱分析柑橘类水果中残留的苯丁锡[J]. 色谱, 2009, 27(6): 760-763.
- Liu ZX, Guo P, Wang YX, et al. Determination of fenbutatin oxide residue in orange products by gas chromatography [J]. Chin J Chromatogr, 2009, 27(6): 760-763.
- [7] Bravo M, Lespes G, Gregori ID, et al. Determination of organotin compounds by headspace solid-phase microextraction-gas chromatography-pulsed flame-photometric detection (HS-SPME-GC-PFPD). [J]. Anal Bioanal Chem, 2005, 383(7-8): 1082-1089.
- [8] Wasik A, Ciesielski T. Determination of organotin compounds in biological samples using accelerated solvent extraction, sodium tetrtaethylborateethylation, and multicapillary gas chromatography-flame photometric detection [J]. Anal Bioanal Chem, 2004, 378(5): 1357-1363.
- [9] 李德良. 气相色谱法测定蔬菜中苯丁锡残留量[J]. 理化检验: 化学分册, 2010, (5): 518-520.
- Li DL. GC determination of residual fenbutatin oxide in vegetable [J]. Phys Test Chem Anal (Part B), 2010, (5): 518-520.
- [10] Montes R, Canosa P, Lamas JP, et al. Matrix solid-phase dispersion and solid-phase microextraction applied to study the distribution of fenbutatin oxide in grapes and white wine [J]. Anal Bioanal Chem, 2009, 395(8): 2601-10.
- [11] Campillo N, Viñas P, Peñalver R, et al. Solid-phase microextraction followed by gas chromatography for the speciation of organotin compounds in honey and wine samples: A comparison of atomic emission and mass spectrometry detectors [J]. J Food Comp Anal, 2012, 25(1): 66-73.
- [12] 李晓玉, 高玉生, 于杰, 等. GC-MS法同时测定粮谷中三环锡和苯丁锡残留量[J]. 食品研究与开发, 2013, 34(22): 17-20.
- Li XY, Gao YS, Yu J, et al. Determination of cyhexatin and fenbutatinpesticide residues in grains by GC-MS [J]. Food Res Dev, 2013, 34(22): 17-20.
- [13] Devos C, Moens L, Sandra P. Determination of the acaricidefenbutatin oxide in water samples by automated headspace-SPME-GC/MS [J]. J Separ Sci, 2005, 28(7): 665-668.
- [14] Ikonomou MG, Fernandez MP, He T, et al. Gas chromatography-high-resolution mass spectrometry based method for the simultaneous determination of nine organotin compounds in water, sediment and tissue [J]. J Chromatogr A, 2002, 975(2): 319-333.
- [15] Binato G, Biancotto G, Piro R, et al. Atomic absorption spectrometric screening and gas chromatographic-mass spectrometric determination of organotin compounds in marine mussels: an application in samples from the Venetian Lagoon [J]. Fresenius J Anal Chem, 1998, 361(4): 333-337.
- [16] Sabrine A, Kaouthar L, Zeineb G, et al. Acaricidal activity of 31 essential oils extracted from plants collected in Tunisia [J]. J Essent Oil Res, 2012, 24(3): 279-288.
- [17] 王建华, 张慧丽. 四乙基硼化钠衍生-气相色谱-串联质谱法测定畜禽肉中有机锡农药残留[J]. 食品科学, 2016, 37(6): 178-183.
- Wang JH, Zhang HL. Simultaneous determination of organo-tin residues in livestock and poultry meat by GC-MS/MS after sodium tetrtaethylborate derivatization [J]. Food Sci, 2016, 37(6): 178-183.
- [18] 崔宗岩, 孙扬, 葛娜, 等. 格氏试剂衍生-气相色谱-串联质谱法同时测定水果和蔬菜中的三环锡、三苯锡和苯丁锡残留[J]. 色谱, 2014, 32(08): 857-862.
- Cui ZY, Sun Y, Ge N, et al. Simultaneous determination of cyheatin, triphenyltin and fenbutatin oxide residues in fruits and vegetables by Grignard derivatization and gas chromatography coupled to tandem mass spectrometry [J]. Chin J Chromatogr, 2014, 32(08): 857-862.

(责任编辑: 白洪健)

## 作者简介



李雯婷, 药师, 主要研究方向为中药及食品质量安全与分析检测。

E-mail: liwenting-84@163.com



季申, 主任药师, 主要研究方向为中药、天然药物及保健食品和有害残留物的质量标准研究。

E-mail: jishen2013@163.com